

Кулоновские плазмон-экситоны в планарных наноструктурах металл—полупроводник

© В.А. Кособукин

Физико-технический институт им. А.Ф. Иоффе РАН,
Санкт-Петербург, Россия

E-mail: Vladimir.Kosobukin@mail.ioffe.ru

Поступила в Редакцию 26 ноября 2020 г.

В окончательной редакции 26 ноября 2020 г.

Принята к публикации 27 ноября 2020 г.

Представлена теория кулоновских (нерадиационных) плазмон-экситонов в полупроводнике с близко расположенными квантовой ямой и ультратонкой металлической пленкой. Сформулированы уравнения движения для волн поляризации поверхностных плазмонов и квазидвумерных экситонов с учетом их кулоновского взаимодействия. В рамках модели связанных гармонических осцилляторов решены задачи о вынужденных кулоновских плазмонных, экситонных и плазмон-экситонных возбуждениях при наличии дипольной вынуждающей силы. Для плазмон-экситонов вычислена константа связи, исследованы оптические спектры плазмон-экситонов и определены относительные вклады плазмонной и экситонной компонент в нормальные моды. Показано, что вблизи резонанса между плазмонами и экситонами спектр плазмон-экситонных возбуждений состоит из двух пиков, поведение которых при прохождении резонанса имеет характер антипересечения (расталкивания их частот).

Ключевые слова: плазмоны, экситоны, кулоновская связь, плазмон-экситоны, волны поляризации, антипересечение.

DOI: 10.21883/FTT.2021.04.50720.248

1. Введение

Плазмоны в металлах и экситоны в полупроводниках представляют собой коллективные электронные возбуждения со спектром в видимом диапазоне [1,2]. В наноструктурах металл—полупроводник и метаматериалах плазмоны и экситоны могут сосуществовать и взаимодействовать друг с другом [3,4]. Сравнительно давно был поставлен вопрос о гашении экситонов плазмонами вблизи поверхности металла [5,6]. В дальнейшем выяснилось, что эффекты резонансного взаимодействия плазмонов и экситонов разнообразны: плазмоны могут как гасить излучение экситонов [6–8], так и усиливать его [7–12]. По этой причине оптические плазмон-экситонные возбуждения представляют значительный научный и практический интерес. Весьма важно установить характер связи между плазмонами и экситонами, если согласно общим представлениям под связью понимать влияние одного возбуждения на другое и наоборот [13].

К настоящему времени опубликовано много работ, посвященных взаимодействию молекулярных экситонов с поверхностными плазмонами и плазмонными поляритонами. Изучалось расщепление спектра поверхностных плазмонных поляритонов при резонансе с оптическими переходами в тонких переходных слоях [14–16]. Интерес к молекулярным системам, в том числе к органическим полупроводникам, обусловлен сильной связью их экситонов с плазмонами, которая выражается в наблюдаемом большом расщеплении Раби оптических спектров [17–20]. Было установлено, что взаимодействие

молекулярных экситонов и плазмонов приводит к образованию их связанных состояний [7,17–20], существенно ускоряет спонтанное излучение экситонов [8,9], способствует электромагнитному энергопереносу в отсутствие электронного переноса [12,21] и т.п. Для молекулярных экситонов Френкеля следует также особо отметить работы, в которых изучались их гибридные моды с экситонами большого радиуса (экситонами Ванье) [22,23].

Взаимодействие экситонов большого радиуса с плазмонами исследовалось экспериментально в некоторых наноструктурах металл—полупроводник. Преимущественно обсуждалась связь оптически активных плазмонов с экситонами квантовых точек [7,8] или квантовых ям [24,25]. Для структур с квантовыми ямами теоретически предсказывается двухпиковая структура плазмон-экситонных оптических спектров. Это относится к рассеянию света наночастицей благородного металла вблизи квантовой ямы [26,27], к отражению света от ямы и слоя частиц [28], к распространению поляритонов в сверхрешетке квантовых ям и слоев металлических наночастиц [29]. Поведение пиков при сближении частот плазмона и экситона имеет признаки антипересечения (расталкивания частот) вблизи резонанса [30].

Кроме излучательных плазмонов и экситонов, значительный физический интерес представляют их нерадиационные аналоги. В системах пониженной размерности нерадиационные (кулоновские) парциальные возбуждения и их смешанные моды имеют характер волн поляризации. Эти волны распространяются в направлениях трансляционной симметрии структуры и локализованы

в направлениях ограничения движения. Кулоновские возбуждения могут играть важную роль в люминесценции, в рассеянии света, в ближнеполевой оптике, в безызлучательном переносе электронных возбуждений и т.п., но их систематическому изучению не уделялось достаточного внимания.

Цель настоящей работы — построение теории взаимодействия нерадикационных экситонов большого радиуса и поверхностных плазмонов в наноструктурах с близко расположенными квантовой ямой и слоем металла. Сформулированы уравнения динамики для поляризации квазидвумерных экситонов и плазмонов при их кулоновском взаимодействии и наличии вынуждающей силы. Исследованы спектроскопические эффекты, обусловленные связью нерадикационных („темных“) экситонов с поверхностными плазмонами. Содержание работы заключается в следующем. Постановка задачи дана в разд. 2, математическая модель сформулирована в разд. 3. На этой основе динамические уравнения для поляризации построены в разд. 4 без учета плазмон-экситонного взаимодействия и в разд. 5 — с учетом взаимодействия. Спектры плазмон-экситонов проанализированы в разд. 6 в пренебрежении их диссипативным затуханием, а в разд. 7 — с учетом затухания.

2. Постановка задачи

Для изучения плазмон-экситонов в наноструктурах металл-полупроводник используем модель, показанную на рис. 1. Рассматривается полупроводник с близко расположенными квантовой ямой и металлической пленкой, причем ширина ямы l , толщина пленки L и расстояние h между их центральными плоскостями имеют нанометровый масштаб. Предметом изучения служат нерадикационные плазмон-экситоны, образованные при взаимодействии поверхностных плазмонов пленки с квазидвумерными (квази-2D)-экситонами ямы. В пренебрежении электромагнитным запаздыванием эти возбуждения являются кулоновскими по терминологии [15].

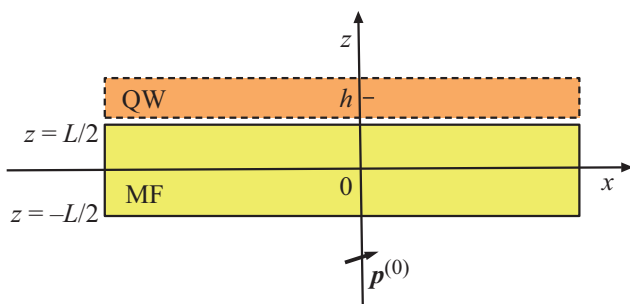


Рис. 1. Геометрия задачи: металлическая пленка (MF) толщиной L ($|z| < L/2$), квантовая яма (QW) со средней плоскостью $z = h > L/2$ и дипольный осциллятор при $z = z_0 < -L/2$. Фооновая диэлектрическая проницаемость равна $\epsilon_1 = \epsilon_b$ при $|z| > L/2$ и $\epsilon_2 = \epsilon_\infty$ при $|z| < L/2$, формула (1).

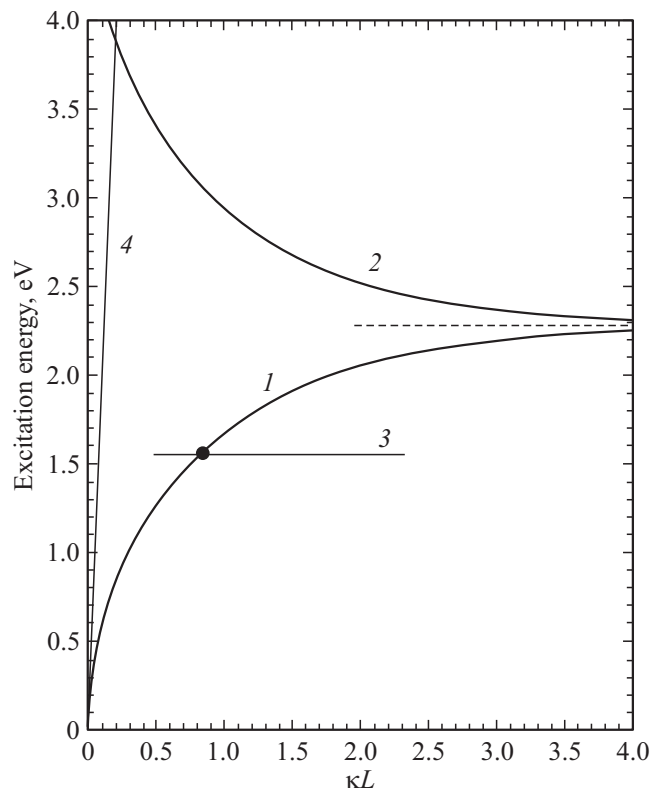


Рис. 2. Зависимость от κL энергий $\hbar\omega_-$ (1) и $\hbar\omega_+$ (2) поверхностных плазмонов в пленке Ag толщиной L и квази-2D-экситонов $\hbar\omega_0$ (3) в квантовой яме GaAs/AlGaAs. В точке пересечения плазмонной $\omega_-(\kappa)$ и экситонной ω_0 ветвей выполняется условие $\omega_-(\kappa) = \omega_0$ плазмон-экситонного резонанса. Прямая 4 показывает при $L = 3$ nm границу светового конуса $\omega = \kappa c / \sqrt{\epsilon_b}$, вне которого находятся нерадикационные возбуждения с $\kappa > \sqrt{\epsilon_b} \omega / c$. Вычислено при $\hbar\omega_p = 9.45$ eV, $\epsilon_\infty = 4.3$ для Ag [32] и $\hbar\omega_0 = 1.55$ eV, $\epsilon_b = 12.5$ для GaAs.

Модельная структура (рис. 1) трансляционно инвариантна по $\rho = (x, y)$ и изотропна в плоскостях $z = \text{const}$. Невзаимодействующие (парциальные) поверхностные плазмоны в пленке и квази-2D-экситоны в яме представляют собой двумерные волны диэлектрической поляризации $\mathbf{P}(\mathbf{r}, t) = \mathbf{P}(z, \boldsymbol{\kappa}, \omega) e^{i\boldsymbol{\kappa}\rho - i\omega t}$. Их законы дисперсии изотропны по направлениям волнового вектора $\boldsymbol{\kappa} = (\kappa_x, \kappa_y)$ в плоскости x, y , причем для кулоновских (квазистатических) мод $|\boldsymbol{\kappa}| \gg k_0 = \omega/c$, где ω — частота, c — скорость света. Электрическое поле, связанное с волной поляризации $\mathbf{P}(z, \boldsymbol{\kappa}, \omega)$, затухает по закону $E(z, \boldsymbol{\kappa}) \sim e^{-\kappa|z|}$ при увеличении расстояния $|z|$ от планарной наноструктуры. Поле $\mathbf{E}(z, \boldsymbol{\kappa})$ поляризационной моды с $\boldsymbol{\kappa} = \kappa\mathbf{e}_x$ имеет продольную x и поперечную z компоненты, а y -компонента, имеющая малость $\sim (k_0/\kappa)^2 \ll 1$ в квазистатике, пренебрежимо мала.

В металлической пленке ($|z| < L/2$), заключенной между диэлектрическими средами, поверхностные плазмоны имеют две дисперсионные ветви в зависимости от $\boldsymbol{\kappa}$. В случае одинаковых сред ветви $\omega_\mp(\boldsymbol{\kappa})$ показаны как 1 и 2 на рис. 2, где индексы \mp соответствуют

модам плазмонов, симметричной и антисимметричной относительно плоскости $z = 0$. Сказанное о квазистатических модах плазмонов с $\kappa \gg k_0$ справедливо, если L превышает толщину нескольких атомных слоев [31]. При учете электромагнитного запаздывания спектры $\omega_{\mp}(\kappa)$ перестраиваются только в области $\kappa \gtrsim k_0$ вблизи фотонной прямой 4, где плазмоны трансформируются в нерадиационные плазмон-поляритоны [2].

В квантовой яме шириной $l \ll a_B$, где a_B — боровский радиус экситона в материале ямы, квази-2D-экситоны с $\kappa \gg k_0$ не взаимодействуют со светом. В нерадиационной области ($\kappa \gg k_0$) экситоны характеризуются теми же микроскопическими зонными параметрами, что вычислялись для радиационных квази-2D-экситонов [33–35].

Для взаимодействия экситона и плазмона их законы дисперсии должны удовлетворять условию $\omega_{\text{plasma}}(\kappa) = \omega_{\text{exciton}}(\kappa)$ (см. пересечение ветвей 1 и 3 на рис. 2). В случае кулоновских парциальных мод смешанная плазмон-экситонная мода не может возбуждаться световыми волнами, имеющими волновые числа $\sim k_0$. Для возбуждения „темных“ мод необходимы источники излучения с широким пространственным спектром $\kappa \gg k_0$ в плоскости xu наноструктуры, такие как квазичастичные ближнеполевые зонды, наночастицы, атомные агрегаты и т. д.

3. Основные уравнения

В модели, схематически представленной на рис. 1, фоновая (при отсутствии плазмонной и экситонной поляризации) диэлектрическая проницаемость равна

$$\begin{aligned} \varepsilon(z) &= \varepsilon_1[1 - v(z)] + \varepsilon_2 v(z), \\ v(z) &= \theta\left(z + \frac{L}{2}\right) - \theta\left(z - \frac{L}{2}\right). \end{aligned} \quad (1)$$

Здесь ε_1 и ε_2 — положительные постоянные, а функция $\theta(z)$ равна нулю при $z < 0$ и единице при $z > 0$. Далее считаем, что область $|z| > L/2$ занята полупроводником с фоновой проницаемостью $\varepsilon_1 = \varepsilon_b$, а область $|z| < L/2$ занята металлом с $\varepsilon_2 = \varepsilon_\infty$.

На фоне статической проницаемости (1) возбуждаются плазмонная $\mathbf{P}^{(1)}$ и экситонная $\mathbf{P}^{(2)}$ поляризации, которым далее соответствуют верхние индексы 1 и 2. Поляризационные бозе-возбуждения обоих типов можно описывать как квантовые [1] или классические (при больших числах заполнения состояний) [2,15]. В данной работе в приближении классической электродинамики решается задача о колебаниях гармонических осцилляторов с кулоновской связью, роль которых выполняют поляризации $\mathbf{P}^{(1)}$ и $\mathbf{P}^{(2)}$.

Плазмоны возбуждаются в пленке металла толщиной L , содержащей электронный газ с однородной плотностью $n_0 v(z) = \text{const}$. Для волны плазмонной поляризации с вектором κ в пленке локальное уравнение

линейного отклика имеет вид

$$-(\omega^2 + i\omega\gamma)\mathbf{P}^{(1)}(z, \kappa, \omega) = \frac{\omega_p^2}{4\pi} v(z)\mathbf{E}(z, \kappa, \omega). \quad (2)$$

Здесь $\omega_p = (4\pi n_0 e^2/m)^{1/2}$ — плазменная частота, e , m и γ — заряд, эффективная масса и обратное время релаксации электронов в металле, $v(z)$ дается формулой (1) и \mathbf{E} — полное электрическое поле.

Для поляризации основного $1s$ -состояния квази-2D-экситона квантовой ямы, следуя теории [35] в приближении эффективной массы, находим нелокальное материальное соотношение

$$\begin{aligned} (\omega_0^2(\kappa) - \omega^2 - i\omega\Gamma)P_\alpha^{(2)}(z, \kappa, \omega) &= \Omega_{(\alpha)}^2 \psi(z-h) \\ &\times \int dz' \psi(z'-h) E_\alpha(z', \kappa, \omega). \end{aligned} \quad (3)$$

Здесь $\omega_0(\kappa) = \omega_0 + \hbar\kappa^2/(2M)$ — закон дисперсии экситона с частотой ω_0 , учитывающей размерное квантование носителей, с трансляционной массой M и параметром диссипативного затухания Γ . Свойства огибающей $\psi(z-h)$ волновой функции основного состояния квази-2D-экситона при совпадающих координатах электрона и дырки в яме со средней плоскостью $z = h$ обсуждаются в Приложении А.

Поляризационный отклик (3) квази-2D-экситона на электрическое поле определяется константой $\Omega_{(\alpha)}^2 = \omega_0 \Gamma_{e,(\alpha)}$, где индекс (α) обозначает ось поляризации экситона. С учетом теории [35] полагаем $\Gamma_{e,(\alpha)} = p_{(\alpha)} \varepsilon_b \omega_{LT} / (2\pi)$, где $p_{(\alpha)} > 0$ для оси α , в направлении которой экситон оптически активен, а частота ω_{LT} выражается через межзонный матричный элемент оператора импульса [35,36]. В случае простой (изотропной) зоны $\Omega_{(\alpha)} = \Omega$. Для прямозонных полупроводников со структурой ZnS основные состояния экситонов $e1-hh1$ тяжелой и $e1-lh1$ легкой дырок оптически активны в плоскости xu квантовой ямы, а экситон $e1-lh1$ имеет также ненулевую силу осциллятора по нормали z к яме [35,36].

Для дальнейшего важно, что в согласии с [33–36] для всех перечисленных экситонов $\Gamma_{e,(x)} = \Gamma_{e,(y)}$, при этом $\Gamma_{e,(z)} = 0$ для экситона $e1-hh1$ и $\Gamma_{e,(z)} > \Gamma_{e,(x)}$ для экситона $e1-lh1$. Величины $\Gamma_{e,(\alpha)} = \Gamma_e$ для касательных ($\alpha = x, y$) компонент поляризации связаны с параметром радиационного затухания квази-2D-экситона

$$\begin{aligned} \Gamma_0 &= \Gamma_e \frac{2\pi\omega_0}{c\sqrt{\varepsilon_b}} \left[\int dz \psi(z) \cos\left(\frac{\sqrt{\varepsilon_b}\omega_0 z}{c}\right) \right]^2 \\ &\approx \omega_{LT} \frac{\omega_0 \sqrt{\varepsilon_b}}{c} \left(\int dz \psi(z) \right)^2, \end{aligned} \quad (4)$$

который вводится при нормальном падении света на квантовую яму шириной $l \ll c/(\sqrt{\varepsilon_b}\omega_0)$ [34,35]. Согласно формуле (A2) из Приложения А квадрат интеграла в (4) определяет эффективную ширину $l_{\text{eff}} \sim a_B > l$

в противоположность „физической“ ширине квантовой ямы l . В рамках микроскопической теории параметр Γ_0 численно исследовался для квантовых ям GaAs/AlGaAs в работе [37]. Этот параметр определяет коэффициент нормального отражения света

$$R(\omega) = \frac{\Gamma_0^2}{(\omega_0 - \omega)^2 + (\Gamma + \Gamma_0)^2},$$

который вычисляется на основе представления (3) и определяется из оптического эксперимента [37]. Найденный таким образом параметр Γ_0 может служить для экспериментальной оценки величин Γ_e и $\Omega_{(\alpha)}$, входящих в (3), (4).

Заметим, что соотношение (3) для $\mathbf{P}^{(2)}$ получено на основе результатов квантовой теории применительно к модели классического осциллятора, поэтому в (3) входят квадраты частот, как и в выражение (2) для $\mathbf{P}^{(1)}$. Как следствие, параметры затухания, которые мы используем для экситонов, вдвое больше, чем в квантовой задаче. Чтобы получить для полей поляризации уравнения движения, зависящие от времени t , следует сделать в (2), (3) и далее замены

$$-(\omega^2 + i\omega\gamma) \rightarrow \frac{d^2}{dt^2} + \gamma \frac{d}{dt},$$

$$-\omega^2 - i\omega\Gamma + \omega_\alpha^2 \rightarrow \frac{d^2}{dt^2} + \Gamma \frac{d}{dt} + \omega_\alpha^2$$

в соответствии с преобразованием Фурье $P_\alpha^{(n)}(z, \kappa, \omega) \rightarrow P_\alpha^{(n)}(z, \kappa, t)$.

В общем случае будем рассматривать поляризацию

$$\mathbf{P}(\mathbf{r}, t) = \mathbf{P}^{(0)} + \mathbf{P}^{(1)} + \mathbf{P}^{(2)}, \quad (5)$$

которая кроме $\mathbf{P}^{(1)}$ и $\mathbf{P}^{(2)}$ включает вклад $\mathbf{P}^{(0)}$ внешнего источника. Для последнего принимаем $\mathbf{P}^{(0)}(\mathbf{r}, t) = \mathbf{p}^0(t)\delta(\boldsymbol{\rho})\delta(z-z_0)$, где $\mathbf{p}^0(t)$ — дипольный момент осциллятора, расположенного в точке $\mathbf{r} = (0, 0, z_0)$, $z_0 = -|z_0| < -L/2$ (рис. 1). При любом κ имеем

$$\mathbf{P}^{(0)}(z, \boldsymbol{\kappa}, \omega) = \mathbf{p}^0(\omega)\delta(z - z_0). \quad (6)$$

Пусть для поляризации с $n = 0, 1$ или 2 из выражения (5) условие $\mathbf{P}^{(n)}(z', \boldsymbol{\kappa}) \neq 0$ выполняется в области $z' \in v_n'$. Поляризация $\mathbf{P}^{(n)}$ с $\boldsymbol{\kappa} = \kappa \mathbf{e}_x$ порождает в точке z слоистой среды компоненты

$$E_\alpha^{(n)}(z, \kappa, t) = \sum_{\beta} \int_{v_n'} dz' g_{\alpha\beta}(z, z', \kappa) P_\beta^{(n)}(z', \kappa, t) \quad (7)$$

полного электрического поля, которое входит в правые части выражений (2) и (3). В формуле (7) $g_{\alpha\beta}(z, z', \kappa)$ — тензорные компоненты функции Грина, вычисленные в квазистатическом приближении для среды с фоновой проницаемостью (1) в отсутствие поляризации (5). Необходимый для решения нашей задачи набор функций

$g_{\alpha\beta}(z, z', \kappa)$ с индексами α и β , равными x и z , приведен в Приложении В.

С учетом формул (5) и (7) из уравнения (2) для поляризации плазмонов с заданными κ, ω получаем

$$-(\omega^2 + i\omega\gamma)P_\alpha^{(1)}(z) = \frac{\omega_p^2}{4\pi} v(z) \times \sum_{n=0,1,2} \sum_{\beta} \int_{v_n'} dz' g_{\alpha\beta}(z, z') P_\beta^{(n)}(z'), \quad (8)$$

В правой части выражения (8) член с $n = 1$ учитывает собственное электрическое поле (7) плазмонов, а члены с $n = 0$ и 2 выражают поля внешнего источника и экситонов.

Аналогично из соотношения (3) с учетом (5), (7) находим

$$(\omega_0^2(\kappa) - \omega^2 - i\omega\Gamma)P_\alpha^{(2)}(z) = \Omega_{(\alpha)}^2 \psi(z - h) \times \int_{v_2'} dz' \psi(z' - h) \sum_{n=0,1,2} \sum_{\beta} \int_{v_n''} dz'' g_{\alpha\beta}(z', z'') P_\beta^{(n)}(z''). \quad (9)$$

В уравнениях (8) и (9) члены, связанные с поляризациями плазмонов $\mathbf{P}^{(1)}$ и экситонов $\mathbf{P}^{(2)}$, перенесем в левые части, а в правых частях оставим члены с полем $\mathbf{E}^{(0)}$ вида (7), которое создается поляризацией (6) внешнего диполя. Это дает систему четырех неоднородных интегральных уравнений для поляризации взаимодействующих кулоновских плазмонов и экситонов с $\alpha = x, z$ во внешнем поле.

4. Поверхностные плазмоны и квазидвумерные экситоны

Вначале обсудим по-отдельности задачи о плазмонах и экситонах при наличии внешнего источника (6). Эти возбуждения, парциальные по отношению к плазмон-экситонам, могут проявляться самостоятельно в ближнеполевой оптике и в процессах рассеяния света.

4.1. Поверхностные плазмоны. Уравнения дисперсии для поверхностных плазмонных поляритонов с волновым вектром $\boldsymbol{\kappa} = \kappa \mathbf{e}_x$ в пленке металла толщиной L (рис. 1) с проницаемостью ε имеют вид

$$\frac{\varepsilon}{\varepsilon_1} + \sqrt{\frac{1 - \varepsilon(k_0/\kappa)^2}{1 - \varepsilon_1(k_0/\kappa)^2}} \operatorname{th}^{\mp 1} \left(\frac{\kappa L}{2} \sqrt{1 - \varepsilon \left(\frac{k_0}{\kappa} \right)^2} \right) = 0. \quad (10)$$

Примем $\varepsilon(\omega) = \varepsilon_\infty - \omega_p^2/(\omega^2 + i\omega\gamma)$ для металла и пренебрежем электромагнитным запаздыванием ($k_0 \ll \kappa$). Тогда для поверхностных плазмонов в пленке из урав-

нений (10) находим две дисперсионные ветви ($\gamma = 0$):

$$\omega_{\mp}(\kappa) = \frac{\omega_p}{\sqrt{\Delta_{\mp}(\kappa)}}, \quad \Delta_{\mp}(\kappa) = \varepsilon_{\infty} + \varepsilon_b \operatorname{th}^{\mp 1} \left(\frac{\kappa L}{2} \right). \quad (11)$$

Ветви $\omega_{\mp}(\kappa)$, рассчитанные по формулам (11) с фоновыми проницаемостями $\varepsilon_1 = \varepsilon_b$ в GaAs и $\varepsilon_2 = \varepsilon_{\infty}$ в тонкой пленке Ag ($L \ll 1/k_0$) показаны кривыми 1 и 2 на рис. 2 в зависимости от κL .

Собственные векторы для мод плазмонной поляризации с частотами $\omega_{\mp}(\kappa)$ равны

$$\begin{aligned} \boldsymbol{\pi}^{-}(z, \kappa) &= \mathbf{e}_x \operatorname{ch} \kappa z - i \mathbf{e}_z \operatorname{sh} \kappa z, \\ \boldsymbol{\pi}^{+}(z, \kappa) &= \mathbf{e}_x \operatorname{sh} \kappa z - i \mathbf{e}_z \operatorname{ch} \kappa z \end{aligned} \quad (12)$$

в пленке ($|z| < L/2$). Следует заметить, что в модах $\boldsymbol{\pi}^{\mp}(z, \kappa)$ электронная плотность $\rho_{\mp}(z, \kappa) \exp(i\kappa x)$ с

$$\rho_{\mp}(z, \kappa) \sim \delta(z + L/2) \pm \delta(z - L/2)$$

локализована на поверхностях $z = \mp L/2$. В моде $\boldsymbol{\pi}^{-}$ распределение плотности заряда симметрично по z , а в моде $\boldsymbol{\pi}^{+}$ антисимметрично. Такую же симметрию по z в модах (12) имеет касательная x -компонента электрического поля \mathbf{E} , которое соответственно квазипродольно и квазипоперечно по отношению к волновому вектору $\boldsymbol{\kappa} = \kappa \mathbf{e}_x$.

Для плазмонной поляризации $\mathbf{P}^{(1)}$ в пленке используем следующее разложение по собственным модам (12):

$$\begin{aligned} P_x^{(1)} &= V_- \operatorname{ch} \kappa z + V_+ \operatorname{sh} \kappa z, \\ P_z^{(1)} &= -i(V_- \operatorname{sh} \kappa z + V_+ \operatorname{ch} \kappa z), \end{aligned} \quad (13)$$

где $V_{\mp}(\kappa, \omega)$ — комплексные амплитуды. Эти компоненты поляризации удовлетворяют соотношению $\operatorname{div} \mathbf{P}^{(1)} = 0$, или

$$i\kappa P_x^{(1)} + \frac{dP_z^{(1)}}{dz} = 0. \quad (14)$$

Подставим выражения (6), (13) и функции Грина (B1)–(B8) из Приложения В в уравнение (8) с $\mathbf{P}^{(2)} = 0$. Выполнив интегрирование, получаем

$$\begin{aligned} &[\omega_-^2(\kappa) - \tilde{\omega}^2]V_- \operatorname{ch} \kappa z + [\omega_+^2(\kappa) - \tilde{\omega}^2]V_+ \operatorname{sh} \kappa z \\ &= \frac{\kappa}{2} \left(\omega_-^2(\kappa) \frac{\operatorname{ch} \kappa z}{\operatorname{sh}(\kappa L/2)} - \omega_+^2(\kappa) \frac{\operatorname{sh} \kappa z}{\operatorname{ch}(\kappa L/2)} \right) e^{-\kappa(|z_0| - L/2)} p_+^0. \end{aligned} \quad (15)$$

Здесь $\tilde{\omega}^2 = \omega^2 + i\omega\gamma$, $\omega_{\mp}(\kappa)$ — частоты (11) мод $V_{\mp}(\kappa)$ и

$$p_+^0(\omega) = p_x^0 + ip_z^0. \quad (16)$$

Динамическая матрица в уравнении (15) диагональна для мод (12) с частотами $\omega_{\mp}(\kappa)$.

Умножим выражение (15) на $\operatorname{ch} \kappa z$ или $\operatorname{sh} \kappa z$ и проинтегрируем по $|z| < L/2$ с учетом ортогональности базисных функций (12). В результате для амплитуд поверхностных плазмонов, возбуждаемых в пленке внешним источником, находим

$$V_{\mp}(\kappa, \omega) = p_+^0 \frac{\kappa}{2} \frac{\omega_{\mp}^2(\kappa)}{\omega_{\mp}^2(\kappa) - \omega^2 - i\omega\gamma} f_{\mp}(\kappa) e^{-\kappa(|z_0| - L/2)}, \quad (17)$$

где $f_-(\kappa) = 1/\operatorname{sh}(\kappa L/2)$ и $f_+(\kappa) = -1/\operatorname{ch}(\kappa L/2)$.

4.2. Квази-2D-экситоны. Рассмотрим теперь задачу о нерадационных („темных“) экситонах квантовой ямы, которая находится в полупроводнике с $\varepsilon_1 = \varepsilon_b$ вблизи слоя $|z| < L/2$ с фоновой проницаемостью $\varepsilon_2 = \varepsilon_{\infty}$ (рис. 1). В соответствии с уравнением (3) поляризацию квази-2D-экситона представим в виде

$$P_{\alpha}^{(2)}(z, \kappa) = \psi(z - h) \sqrt{l_w} W_{\alpha}(\kappa). \quad (18)$$

Здесь W_{α} — комплексные амплитуды той же размерности, что V_{\mp} в формуле (13), l_w — характерная ширина. Подставим (6), (18) и функции Грина (B11)–(B17) в уравнение (9) с $\mathbf{P}^{(1)} = 0$ и выполним интегрирование. В результате для амплитуд W_{α} при наличии внешней поляризации (6) получаем систему уравнений

$$\left. \begin{aligned} &[\omega_0^2(\kappa) - \Delta\omega_{xx}^2(\kappa) - \omega^2 - i\omega\Gamma]W_x - \Delta\omega_{xz}^2(\kappa)W_z = \Omega_{(x)}^2 C p_+^0, \\ &-\Delta\omega_{zx}^2(\kappa)W_x + [\omega_0^2(\kappa) - \Delta\omega_{zz}^2(\kappa) - \omega^2 \\ &\quad - i\omega\Gamma]W_z = i\Omega_{(z)}^2 C p_+^0. \end{aligned} \right\} \quad (19)$$

Здесь $\omega_0(\kappa)$ — частота экситона квантовой ямы из (3), а поправки

$$\Delta\omega_{\alpha\beta}^2(\kappa) = \Omega_{(\alpha)}^2 (\delta_{\alpha\beta} M_{\alpha\alpha}^0 + \Delta M_{\alpha\beta}) \quad (20)$$

обусловлены действием собственного электрического поля экситонной поляризации. Величины $M_{\alpha\alpha}^0$ и $\Delta M_{\alpha\beta}$ связаны с двумя вкладками в функции Грина $g_{\alpha\beta} = g_{\alpha\beta}^0 + \Delta g_{\alpha\beta}$ согласно формуле (B20) из Приложения В. Ненулевые матричные элементы

$$\begin{aligned} M_{xx}^0 &= -\frac{2\pi\kappa}{\varepsilon_b} \iint dz dz' \psi(z) e^{-\kappa|z-z'|} \psi(z') \\ &= -M_{zz}^0 - \frac{4\pi}{\varepsilon_b} \int dz \psi^2(z) \end{aligned} \quad (21)$$

определяют кулоновские сдвиги $-\Omega_{(\alpha)}^2 M_{\alpha\alpha}^0$ частоты квази-2D-экситона в однородной среде с фоновой проницаемостью ε_b . Элементы

$$\Delta M_{\alpha\beta}(\kappa) = \iint dz dz' \psi(z - h) \Delta g_{\alpha\beta}(z, z') \psi(z' - h) \quad (22)$$

обусловлены наличием слоя с проницаемостью $\varepsilon_{\infty} \neq \varepsilon_b$. С учетом функций Грина (B11)–(B15) из Приложения В

имеем

$$\left. \begin{aligned} \Delta M_{xx} &= i\Delta M_{xz} = -i\Delta M_{zx} = \Delta M_{zz}, \\ \Delta M_{xx}(\kappa) &= -4\pi \frac{\varepsilon_b^2 - \varepsilon_\infty^2}{\varepsilon_b} \frac{1}{\Delta_-(\kappa)\Delta_+(\kappa)} \frac{e^{-2\kappa h}}{1 - e^{-2\kappa L}} \kappa I_c^2(\kappa). \end{aligned} \right\} \quad (23)$$

В правой части уравнений (19) стоит p_+^0 из (16) и

$$C(\kappa) = 4\pi\varepsilon_\infty \frac{\kappa I_c}{\sqrt{I_w}} \frac{1}{\Delta_-\Delta_+ \operatorname{sh}(\kappa L)} e^{-\kappa(|z_0|+h-L)}. \quad (24)$$

Значение интеграла

$$I_c(\kappa) = \int dz e^{-\kappa z} \psi(z) = \int dz \operatorname{ch}(\kappa z) \psi(z) \quad (25)$$

от функции $\psi(z) = \psi(-z)$ основного экситонного состояния дается формулой (A3) в Приложении А.

Корни определителя системы уравнений (19) при $\Delta\omega_{\alpha\beta} = 0$ дают компоненты $\omega_L^2 = \omega_0^2 - \Omega_{(x)}^2 M_{xx}^0$ и $\omega_Z^2 = \omega_0^2 - \Omega_{(z)}^2 M_{zz}^0$ кулоновского расщепления частоты ω_0 квази-2D-экситона в среде с однородной фоновой проницаемостью ε_b . В терминах работы [33] ω_L и ω_Z — частоты ортогональных мод L и Z , поляризованных соответственно вдоль вектора $\mathbf{k} = \kappa\mathbf{e}_x$ и по нормали к яме. Нарушение однородности диэлектрического фона пленкой металла ($\Delta M_{\alpha\beta} \neq 0$) приводит согласно (19) к взаимодействию между L и Z модами (влияние неоднородного диэлектрического фона на спектр экситонных поляритонов квантовой ямы исследовалось в работе [38]).

5. Уравнения движения для плазмон-экситонов

В уравнениях (8) и (9) перенесем в левую часть члены с плазмонной $\mathbf{P}^{(1)}$ и экситонной $\mathbf{P}^{(2)}$ поляризациями и с учетом выражений (2), (3), (6) и (7) выполним те же преобразования, что в разд. 4.1 и 4.2. Это дает для амплитуд V_- , V_+ плазмонных и W_x , W_z экситонных мод систему четырех алгебраических уравнений, которая представлена в Приложении С. Из этой системы выделим два уравнения, учитывающие резонансное взаимодействие между плазмонной V_- и экситонной W_x модами, которые поляризованы преимущественно вдоль $\mathbf{k} = \kappa\mathbf{e}_x$. Плазмоны выбранной квазипродольной моды V_- ортогональны плазмонам квазипоперечной моды V_+ , к тому же спектры $\omega_-(\kappa)$ и $\omega_+(\kappa)$ этих мод (ветви 1 и 2 на рис. 2) существенно различаются. Для экситонов полагаем $P_a^{(2)} = \delta_{\alpha x} P_x^{(2)}$, $\omega_{xx}(\kappa) = \omega_0$, $\Omega_{(\alpha)} = \delta_{\alpha x} \Omega$ и $\Omega^2 = \omega_0 \Gamma_e$, при этом $W_z = 0$. Резонансу $\omega_-(\kappa) = \omega_0$ между плазмоном и квази-2D-экситоном на рис. 2 соответствует точка пересечения дисперсионных ветвей 1 и 3 в области, где $\kappa \sim 1/L \gg k_0$. В резонансе волна поляризации плазмона, имеющая закон дисперсии $\omega_-(\kappa)$ и амплитуду $Q_1 = V_-$, взаимодействует с

квази-2D-экситоном, который имеет спектр $\omega_x(\kappa) = \omega_0$ и амплитуду $Q_2 = W_x$.

Упрощение системы уравнений (C1) из Приложения С применительно к сформулированной модели взаимодействия плазмона и квази-2D-экситона $e1-hh1$ дает

$$\left. \begin{aligned} [\omega_-^2(\kappa) - \omega^2 - i\omega\gamma]Q_1 + \omega_-^2(\kappa)u_1Q_2 &= \omega_-^2(\kappa)u_3p_+^0(\omega), \\ \Omega^2u_2Q_1 + [\omega_0^2 - \omega^2 - i\omega\Gamma]Q_2 &= \Omega^2u_4p_+^0(\omega). \end{aligned} \right\} \quad (26)$$

Эта система уравнений описывает возбуждение (вынужденные колебания) связанных плазмонного и экситонного гармонических осцилляторов. В уравнения (26) входят множители

$$\begin{aligned} u_1 &= \frac{\kappa I_c \sqrt{I_w}}{2 \operatorname{sh}(\kappa L/2)} e^{-\kappa(h-L/2)}, \\ u_2 &= 4\pi \frac{I_c}{\sqrt{I_w}} \frac{\operatorname{ch}(\kappa L/2)}{\Delta_-} e^{-\kappa(h-L/2)}, \\ u_3 &= -\frac{\kappa}{2 \operatorname{sh}(\kappa L/2)} e^{-\kappa(|z_0|-L/2)}, \\ u_4 &= 4\pi \frac{\kappa I_c}{\sqrt{I_w}} \frac{\varepsilon_\infty}{\Delta_-\Delta_+ \operatorname{sh}(\kappa L)} e^{-\kappa(|z_0|+h-L)}, \end{aligned}$$

p_+^0 из выражения (16) и I_c из (25). При наличии внешнего осциллятора ($p_+^0 \neq 0$) и затухания парциальных возбуждений (выполнено условие $\det D(\omega, \kappa) \neq 0$) система уравнений (26) имеет решение

$$\begin{aligned} Q_1 &= \omega_-^2(\kappa) \frac{(\omega_0^2 - \omega^2 - i\omega\Gamma)u_3 - \Omega^2u_1u_4}{D(\omega, \kappa)} p_+^0, \\ Q_2 &= \Omega^2 \frac{(\omega_-^2(\kappa) - \omega^2 - i\omega\gamma)u_4 - \omega_-^2(\kappa)u_2u_3}{D(\omega, \kappa)} p_+^0, \end{aligned} \quad (27)$$

определяющее плазмонный и экситонный вклады в возбуждаемые плазмон-экситонные моды на частоте внешнего диполя. Здесь

$$\begin{aligned} D(\omega, \kappa) &= [\omega_-^2(\kappa) - \omega^2 - i\omega\gamma] \cdot [\omega_0^2 - \omega^2 - i\omega\Gamma] \\ &\quad - \omega_-^2(\kappa)\Omega^2u_1u_2 \end{aligned} \quad (28)$$

— определитель матрицы, стоящей в левой части системы уравнений (26). Таким образом, мы получили в нулевом приближении решение задачи о резонансном взаимодействии мод Q_1 плазмонов и Q_2 экситонов во внешнем поле.

6. Нормальные моды плазмон-экситонов

Обычно спектр смешанных мод обсуждают в пребрежении затуханием парциальных возбуждений, что дает гармонические нормальные моды. В нашем случае это означает, что при взаимодействии парциальных мод

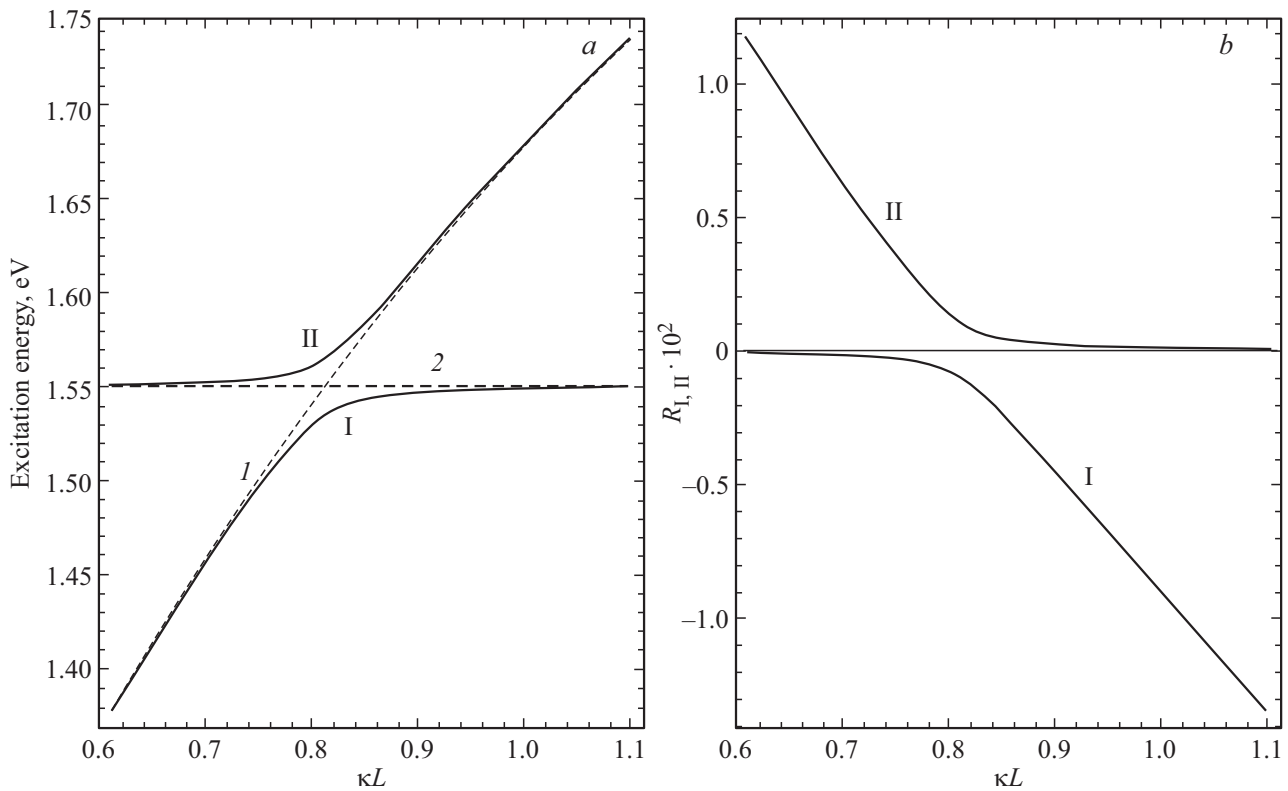


Рис. 3. (а) Собственные энергии $\hbar\omega_I$ (I) и $\hbar\omega_{II}$ (II) плазмон-экситонов. Пунктиром показаны энергии парциальных плазмонов пленки $\hbar\omega_-(\kappa)$ (I) и экситонов квантовой ямы $\hbar\omega_0$ (2). (b) Отношение $R_{I,II}$ амплитуды Q_2 экситонов к амплитуде Q_1 плазмонов в нормальных модах с собственными частотами ω_I и ω_{II} , формула (31). Вычислено при $\gamma = \Gamma = 0$ для плазмонов пленки Ag и экситонов квантовой ямы GaAs/AlGaAs с $\hbar\Omega = 15.7$ meV, $l = 5$ nm, $h = 4$ nm и теми же другими параметрами, что на рис. 2.

с амплитудами Q_1 и Q_2 собственные частоты нормальных мод вычисляются при $\gamma = \Gamma = 0$ из уравнения $D(\omega, \kappa)|_{\gamma=\Gamma=0} = 0$ с определителем (28). В этой идеализированной ситуации для плазмон-экситонных волн, являющихся линейными комбинациями взаимодействующих мод Q_1 и Q_2 с заданным $\kappa = \kappa e_x$, находим собственные частоты

$$\omega_{I,II}^2(\kappa) = \frac{\omega_-^2 + \omega_0^2}{2} \mp \sqrt{\frac{(\omega_-^2 - \omega_0^2)^2}{4} + \Delta\omega^4}, \quad (29)$$

где

$$\Delta\omega^2 = \omega_-(\kappa)\Omega\sqrt{u_1u_2}. \quad (30)$$

Из уравнений (26) с $p_+^0 = 0$ следует, что отношение амплитуды $Q_2^{(I,II)}$ экситонного вклада к амплитуде $Q_1^{(I,II)}$ плазмонного вклада в плазмон-экситон с частотой $\omega_{I,II}(\kappa)$ равно

$$R_{I,II}(\kappa) = \frac{Q_2^{(I,II)}}{Q_1^{(I,II)}} = \frac{\omega_{I,II}^2 - \omega_-^2}{\omega_-^2 u_1} = \frac{\Omega^2 u_2}{\omega_{I,II}^2 - \omega_0^2}. \quad (31)$$

Условие $R_{I,II}(\kappa) \neq 0$ при $\Delta\omega^2 \neq 0$ означает, что нормальные моды поляризации с частотами $\omega_{I,II}(\kappa)$ содержат вклады и плазмонов, и экситонов, т. е. являются плазмон-экситонами.

Условие резонанса $\omega_-(\kappa) = \omega_0$ при фиксированной частоте экситона ω_0 достигается в результате сдвига частоты плазмона $\omega_-(\kappa)$ путем изменения его волнового числа κ , см. рис. 2. Собственные частоты $\omega_{I,II}(\kappa)$ плазмон-экситонов из (29) вблизи резонанса $\omega_-(\kappa) = \omega_0$ представлены на рис. 3, а в зависимости от параметра κL . На рис. 3, b показана зависимость от κL отношения (31) амплитуд парциальных мод, образующих плазмон-экситоны с частотами $\omega_{I,II}(\kappa)$. Эти зависимости характеризуют влияние константы связи $\Delta\omega$ из (30) на положение собственных частот $\omega_{I,II}(\kappa)$ и на состав (31) нормальных плазмон-экситонных мод при разных κ . Из выражения (29) следует, что разность собственных частот при $\omega_- = \omega_0$ составляет $\omega_{II} - \omega_I \approx \Omega(u_1u_2)^{1/4}$. При этом, как видно из рис. 3, а, при всех κ парциальные частоты экситонов ω_0 и плазмонов $\omega_-(\kappa)$ лежат между собственными частотами плазмон-экситонных мод, т. е. $\omega_I < \omega_0, \omega_- < \omega_{II}$. В согласии с [13] можно утверждать, что при любой константе взаимодействия $\Delta\omega$ в области $|\omega_- - \omega_0| \ll \Delta\omega$, т. е. в непосредственной близости к резонансу $\omega_- = \omega_0$, проявляется сильная связанность парциальных возбуждений. Для незатухающих мод она проявляется в качественной перестройке спектра и появлении при $\omega_- = \omega_0$ биений (периодической перекачки энергии между плазмонами и экситонами за

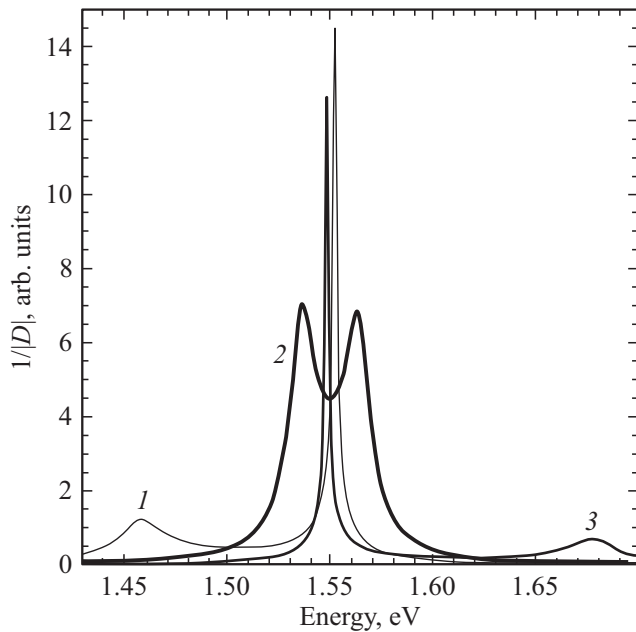


Рис. 4. Зависимость от $\hbar\omega$ спектральной функции плазмон-экситонов $1/|D(\omega, \kappa)|$ из (28) с параметрами затухания $\hbar\gamma = 0.02$ eV плазмонов в пленке Ag и $\hbar\Gamma = 1$ meV квази-2D-экситонов в квантовой яме GaAs/AlGaAs. Вычислено при следующих значениях κL : 0.7 (1), 0.812 (2), 0.9 (3). Другие параметры те же, что на рис. 3.

время $\sim 1/\Delta\omega$), что следует при $\gamma = \Gamma = 0$ из уравнений типа (26), зависящих от времени.

Подобный элементарный анализ спектра имеет смысл в случае резонанса между реальными возбуждениями со слабым затуханием и достаточно большой константой связи. Это относится, например, к резонансному вза-

имодействию между плазмонами и молекулярными экситонами, для которых характерны достаточно большие силы осцилляторов и высокая добротность резонансных состояний. В альтернативном случае взаимодействия экситонов большого радиуса и плазмонов константа связи (30) может быть сравнительно мала в смысле $\Delta\omega \sim \sqrt{\omega_0\Omega} < \gamma$. В этом случае требуется анализировать наблюдаемый оптический спектр плазмон-экситонов, как это было сделано в [27–29].

7. Численный расчет спектра и обсуждение

Обсудим теперь спектры возбуждения плазмон-экситонов с учетом реальных параметров затухания парциальных возбуждений, которые делают нормальные моды негармоническими (затухающими). Численные оценки сделаем на основе уравнений (26)–(28) применительно к плазмонам в пленке Ag и квази-2D-экситонам $e1-hh1$ тяжелой дырки в квантовой яме GaAs/AlGaAs. В качестве спектральной характеристики волн плазмон-экситонной поляризации возьмем функцию $1/|D(\omega, \kappa)|$ с определителем (28). Результат ее расчета при некоторых значениях волнового вектора κ представлен на рис. 4. Максимумы в спектре $1/|D(\omega, \kappa)|$ плазмон-экситонов соответствуют их собственным частотам, которые на рис. 3, а в пренебрежении затуханием демонстрируют антипересечение (расталкивание частот) при приближении к резонансу. Такое же поведение характерно для частот на рис. 4, которые соответствуют двум максимумам функции $1/|D(\omega, \kappa)|$ при каждом значении κ . Высота и ширина пиков в спектре $1/|D(\omega, \kappa)|$ определяются силой осцилляторов и параметрами затухания парциальных мод. Из рис. 4 видно, что спектр $1/|D(\omega, \kappa)|$ вдали

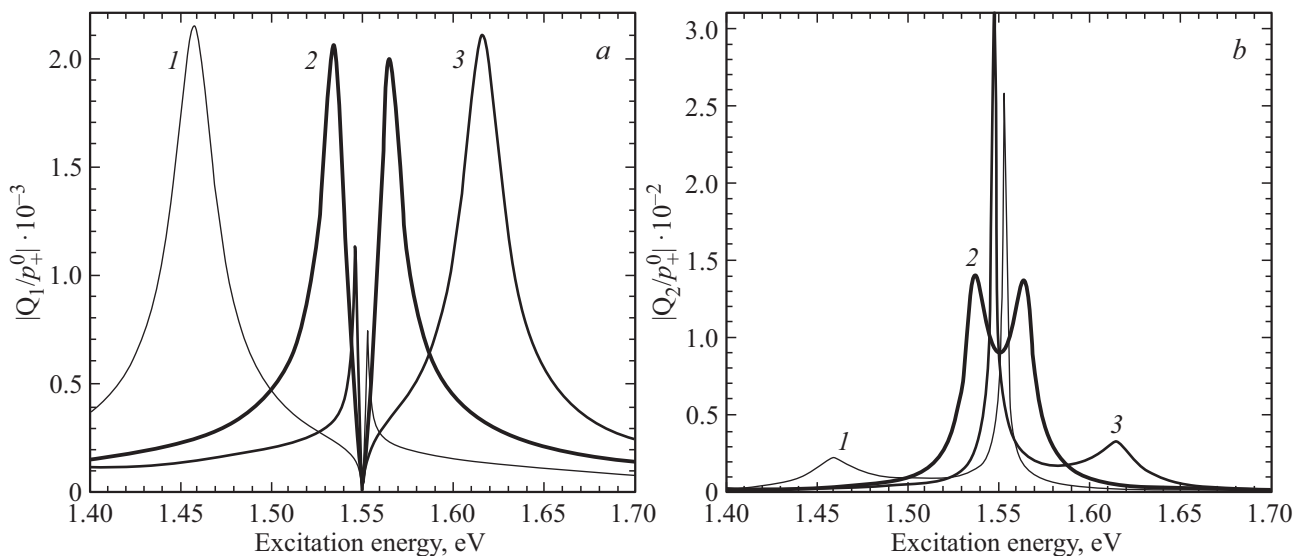


Рис. 5. (а) Плазмонный $|Q_1/p_+^0|$ и (б) экситонный $|Q_2/p_+^0|$ вклады в спектры возбуждения плазмон-экситонов в зависимости от $\hbar\omega$, где ω — частота внешнего дипольного осциллятора p_+ . Вычислено по формулам (27)–(28) при следующих значениях κL : 0.7 (1), 0.812 (2), 0.9 (3). Другие параметры те же, что на рис. 4.

от плазмон-экситонного резонанса состоит из узкого экситонного и широкого плазмонного пиков, а при резонансе он трансформируется в два симметричных пика.

На рис. 5 представлены рассчитанные по формулам (26)–(28) спектры стационарного возбуждения парциальных вкладов в плазмон-экситонные моды в зависимости от $\hbar\omega$, где ω — частота внешнего диполя. Спектры плазмонной амплитуды $|Q_1(\kappa)|/|p_+^0|$ показаны на рис. 5, *a*, а спектры экситонной амплитуды $|Q_2(\kappa)/p_+^0|$ — на рис. 5, *b*. Плазмонный и экситонный вклады в спектры возбуждения плазмон-экситонных мод имеют при разных κ максимумы на двух частотах, которые испытывают антипересечение вблизи резонанса в согласии с рис. 3, *a*.

8. Заключение

В работе представлена теория нерadiационных плазмон-экситонов, образованных вследствие кулоновского взаимодействия поверхностных плазмонов ультратонкой металлической пленки и низкоразмерных экситонов квантовой ямы. Сформулированы уравнения, описывающие возбуждение плазмон-экситонов в классической модели связанных осцилляторов, роль которых играют поля поляризации квазидвумерных плазмонов и экситонов. Для этих поляризационных возбуждений найдена константа взаимодействия (кулоновской связи), которая обеспечивает возникновение двухпиковой структуры спектра смешанных плазмон-экситонных мод. Поведение частот нормальных мод и спектральных пиков вблизи резонанса между плазмоном и экситоном имеет характерные признаки антипересечения (расталкивания) частот. При учете затухания парциальных мод спектры возбуждения плазмон-экситонов вдали от резонанса состоят из узкого экситонного и широкого плазмонного пиков, которые при резонансе трансформируются в два симметричных пика. Представляется, что полученные результаты несложно обобщить применительно к двумерным плазмонам и экситонам, реализующимся в структурах с атомарно тонкими слоями металла и полупроводника.

Приложение А. Обсудим входящую в соотношение (3) функцию $\psi(z)$ для квантовой ямы шириной $l \ll a_B$, где a_B — боровский радиус 3D-экситона в материале ямы. Следуя [34,35,37], для внутреннего движения в состоянии $1s$ квази-2D-экситона возьмем волновую функцию

$$\Psi_{1s}(\rho, z_e, z_h) = \sqrt{\frac{2}{\pi\tilde{a}^2}} e^{-\rho/\tilde{a}} \varphi_{e1}(z_e)\varphi_{h1}(z_h), \quad (\text{A1})$$

параметр \tilde{a} которой близок к боровскому радиусу $a_B^{2D} = a_B/2$ двумерного экситона. Поляризация (3) экситона определяется значением функции (A1) при совпадающих координатах электрона и дырки $\rho = 0$, $z_e = z_h = z$ при этом $\psi(z) = \sqrt{\pi a_B^3} \Psi_{1s}(0, z, z)$.

Для модели квантовой ямы с бесконечно высокими стенками для обоих типов носителей $\varphi_{e1}\varphi_{h1} = (2/l) \cos(\pi z_e/l) \cos(\pi z_h/l)$ в формуле (A1) при $|z_e|, |z_h| < l/2$. При этом в формуле (4) интеграл

$$\int dz \psi(z) = \sqrt{l_{eff}} \quad (\text{A2})$$

определяет эффективную ширину $l_{eff} = 2a_B^3/\tilde{a}^2 > l$. А интеграл (25) равен

$$I_c \equiv \int_{-l/2}^{l/2} dz e^{-\kappa z} \psi(z) = \sqrt{l_{eff}} \frac{4\pi^2}{(\kappa l)^2 + 4\pi^2} \frac{\text{sh}(\kappa l/2)}{\kappa l/2}, \quad (\text{A3})$$

или $I_c \approx \sqrt{l_{eff}}$ при $\kappa l \lesssim 1$. Использование величины $l_{eff} \gg l$ вместо „физической“ ширины квантовой ямы l увеличивает оценки эффектов плазмон-экситонного взаимодействия по сравнению со сделанными в работах [27–29].

Приложение В. Функции Грина. Ниже представлены амплитуды функций Грина $g_{\alpha\beta}(z, z', \kappa) \exp(i\kappa x)$, вычисленные для двухслойной среды с проницаемостью (1) в пренебрежении электромагнитным запаздыванием. Для функций $g_{\alpha\beta}(z, z')$ используются обозначения $g_{\alpha\beta}(m, m')$, где m и m' — номера сред 1 ($z < -L/2$), 2 ($|z| < L/2$) и 3 ($z > L/2$), в которых находятся координаты z и z' . Амплитуды $g_{\alpha\beta}(m, m')$ для плазмонной задачи ($m = 2$) имеют вид

$$g_{xx}(2, 2') = -C_{22} \{ e^{-\kappa|z-z'|} - A [\text{ch} \kappa(z+z')] - b \text{ch} \kappa(z-z') \}, \quad (\text{B1})$$

$$g_{zx}(2, 2') = -iC_{22} \{ e^{-\kappa|z-z'|} \text{sgn}(z-z') + A [\text{sh} \kappa(z+z')] - b \text{sh} \kappa(z-z') \}, \quad (\text{B2})$$

$$g_{xz}(2, 2') = -iC_{22} \{ e^{-\kappa|z-z'|} \text{sgn}(z-z') - A [\text{sh} \kappa(z+z')] + b \text{sh} \kappa(z-z') \}, \quad (\text{B3})$$

$$g_{zz}(2, 2') = C_{22} \{ e^{-\kappa|z-z'|} + A [\text{ch} \kappa(z+z')] + b \text{ch} \kappa(z-z') \} - \frac{4\pi}{\varepsilon_2} \delta(z-z'), \quad (\text{B4})$$

$$C_{22} = \frac{2\pi\kappa}{\varepsilon_2}, \quad b = \frac{\varepsilon_1 - \varepsilon_2}{\varepsilon_1 + \varepsilon_2} e^{-\kappa L},$$

$$A = \frac{2b}{1-b^2} = \frac{\varepsilon_1^2 - \varepsilon_2^2}{\Delta_- \Delta_+ \text{sh} \kappa L},$$

$$\Delta_{\mp}(\kappa) = \varepsilon_2 + \varepsilon_1 \text{th}^{\mp 1} \left(\frac{\kappa L}{2} \right); \quad (\text{B5})$$

$$g_{xx}(2, 1') = -C_{21} (e^{-\kappa z} - b e^{\kappa z}) e^{\kappa z'} = -i g_{xz}(2, 1'), \quad (\text{B6})$$

$$g_{zx}(2, 1') = -i C_{21} (e^{-\kappa z} + b e^{\kappa z}) e^{\kappa z'} = -i g_{zz}(2, 1'), \quad (\text{B7})$$

$$C_{21} = \frac{4\pi\kappa}{\varepsilon_1 + \varepsilon_2} \frac{1}{1 - b^2} = 2\pi\kappa(\varepsilon_1 + \varepsilon_2) \frac{e^{\kappa L}}{\text{sh } \kappa L} \frac{1}{\Delta_- \Delta_+}$$

$$= C_{23} = C_{32}; \quad (\text{B8})$$

$$g_{xx}(2, 3') = -C_{23}(e^{\kappa z} - be^{-\kappa z})e^{-\kappa z'} = ig_{xz}(2, 3'), \quad (\text{B9})$$

$$g_{zx}(2, 3') = iC_{23}(e^{\kappa z} + be^{-\kappa z})e^{-\kappa z'} = ig_{zz}(2, 3'). \quad (\text{B10})$$

Для экситонной задачи (квантовая яма в среде $m = 3$) имеем

$$g_{xx}(3, 3') = -C_{33}[e^{-\kappa|z-z'|} + Be^{-\kappa(z+z')}], \quad (\text{B11})$$

$$g_{zx}(3, 3') = -iC_{33}[e^{-\kappa|z-z'|} \text{sgn}(z - z') + Be^{-\kappa(z+z')}], \quad (\text{B12})$$

$$g_{xz}(3, 3') = -iC_{33}[e^{-\kappa|z-z'|} \text{sgn}(z - z') - Be^{-\kappa(z+z')}], \quad (\text{B13})$$

$$g_{zz}(3, 3') = C_{33}[e^{-\kappa|z-z'|} - Be^{-\kappa(z+z')}] - \frac{4\pi}{\varepsilon_1} \delta(z - z'), \quad (\text{B14})$$

$$C_{33} = \frac{2\pi\kappa}{\varepsilon_1}, \quad B = \frac{b}{1 - b^2} (e^{2\kappa L} - 1) = \frac{\varepsilon_1^2 - \varepsilon_2^2}{\Delta_- \Delta_+} \frac{e^{\kappa L}}{\text{sh } \kappa L}; \quad (\text{B15})$$

$$g_{xx}(3, 1') = -ig_{xz}(3, 1') = -ig_{zx}(3, 1')$$

$$= -g_{zz}(3, 1') = -C_{31}e^{-\kappa(z-z')}, \quad (\text{B16})$$

$$C_{31} = -2\pi\kappa \frac{4\varepsilon_2}{(\varepsilon_1 + \varepsilon_2)^2} \frac{1}{1 - b^2}; \quad (\text{B17})$$

$$g_{xx}(3, 2') = -C_{32}e^{-\kappa z}(e^{\kappa z'} - be^{-\kappa z'}) = -ig_{zx}(3, 2'), \quad (\text{B18})$$

$$g_{xz}(3, 2') = -iC_{32}e^{-\kappa z}(e^{\kappa z'} + be^{-\kappa z'}) = -ig_{zz}(3, 2'). \quad (\text{B19})$$

Функции $g_{\alpha\beta}(m, m)$ с аргументами z и z' из одной и той же m -й среды представляются в виде

$$g_{\alpha\beta}(z, z') = g_{\alpha\beta}^0(z - z') + \Delta g_{\alpha\beta}(z, z'). \quad (\text{B20})$$

Здесь член $g_{\alpha\beta}^0$ связан с поляризацией однородного диэлектрического фона безграничной m -й среды, а $\Delta g_{\alpha\beta}$ описывает влияние неоднородности фона.

Приложение С. Подставим (13) и (18) в уравнения (8) и (9) и используем функции Грина из Приложения В. В результате для взаимодействующих плазмонных и экситонных осцилляторов с амплитудами $Q_1 = V_-$, $Q_2 = W_x$, $Q_3 = V_+$ и $Q_4 = W_z$ получаем уравнения

$$(\hat{H} - \omega^2 \hat{I}) \cdot \mathbf{Q} = \mathbf{F}. \quad (\text{C1})$$

Здесь \mathbf{Q} — вектор с компонентами Q_n , \hat{I} — единичная матрица. Элементы матрицы \hat{H} и компоненты вектора \mathbf{F} равны

$$H_{11} = \omega_-^2 - i\omega\gamma, \quad H_{12} = \frac{\omega^2}{\text{sh}(\kappa L/2)} A_0 = iH_{14}, \quad H_{13} = 0,$$

$$H_{21} = \Omega_{(x)}^2 \frac{\text{ch}(\kappa L/2)}{\Delta_-} A_1, \quad H_{22} = \omega_{xx}^2 - i\omega\Gamma,$$

$$H_{23} = \Omega_{(x)}^2 \frac{\text{sh}(\kappa L/2)}{\Delta_+} A_1, \quad H_{24} = -\Omega_{(x)}^2 \Delta M_{xz} = -\Delta\omega_{xz}^2,$$

$$H_{31} = 0, \quad H_{32} = \frac{\omega_+^2}{\text{ch}(\kappa L/2)} A_0 = iH_{34}, \quad H_{33} = \omega_+^2 - i\omega\gamma,$$

$$H_{41} = i\Omega_{(z)}^2 \frac{\text{ch}(\kappa L/2)}{\Delta_-} A_1, \quad H_{42} = -\Omega_{(z)}^2 \Delta M_{zx} = -\Delta\omega_{zx}^2,$$

$$H_{43} = i\Omega_{(z)}^2 \frac{\text{sh}(\kappa L/2)}{\Delta_+} A_1, \quad H_{44} = \omega_{zz}^2 - i\omega\Gamma,$$

$$(F_1, F_3) = p_+^0 \frac{\kappa}{2} \left(-\frac{\omega_-^2}{\text{sh}(\kappa L/2)}, \frac{\omega_+^2}{\text{ch}(\kappa L/2)} \right) e^{-\kappa(|z_0| - L/2)},$$

$$(F_2, F_4) = p_+^0 \kappa (\Omega_{(x)}^2, i\Omega_{(z)}^2) A_2,$$

$$A_0 = \frac{\kappa I_c \sqrt{I_w}}{2} e^{-\kappa(h-L/2)}, \quad A_1 = 4\pi \frac{I_c}{\sqrt{I_w}} e^{-\kappa(h-L/2)},$$

$$A_2 = 4\pi \frac{I_c}{\sqrt{I_w}} \frac{\varepsilon_2}{\Delta_- \Delta_+ \text{sh}(\kappa L)} e^{-\kappa(|z_0| + h - L)}.$$

Конфликт интересов

Автор заявляет об отсутствии конфликта интересов.

Список литературы

- [1] I. Egri. Phys. Rep. **119**, 6, 364 (1985).
- [2] Поверхностные поляритоны. Электромагнитные волны на поверхностях и границах раздела сред. / Под ред. В.М. Аграновича, Д.Л. Миллса. Наука, М. (1985). 525 с.
- [3] A.A. Toropov, T.V. Shubina. Plasmonic Effects in Metal-Semiconductor Nanostructures. Oxford Univ. Press (2015). 371 p.
- [4] W. Cai, V. Shalaev. Optical Metamaterials. Fundamentals and Applications. Springer (2010). 200 p.
- [5] В.М. Агранович, Ю.В. Конобеев, М.А. Мехтиев. ФТТ **10**, 6, 1754 (1968).
- [6] В.М. Агранович, М.Д. Галанин. Перенос энергии электронного возбуждения в конденсированных средах. Наука, М. (1978). 383 с.
- [7] M. Achermann. J. Phys. Chem. Lett. **1**, 2837 (2010).
- [8] A.O. Govorov, G.W. Bryant, W. Zhang, T. Skeini, J. Lee, N.A. Kotov, J.V. Slocik, R.R. Naik. Nano Lett. **6**, 5, 984 (2006).
- [9] J.-H. Song, T. Atay, S. Shi, H. Urabe, A.V. Nurmikko. Nano Lett. **5**, 8, 1557 (2005).
- [10] A. Neogi, C.-W. Lee, H.O. Everitt, T. Kuroda, A. Tackeuchi, E. Yablonovitch. Phys. Rev. B **66**, 15, 153305 (2002).
- [11] A.A. Toropov, T.V. Shubina, K.G. Belyaev, S.V. Ivanov, P.S. Kor'ev, Y. Ogawa, F. Minami. Phys. Rev. B **84**, 8, 085323 (2011).
- [12] Y. Fedutik, V.V. Temnov, O. Schops, U. Woggon, M.V. Artemyev. Phys. Rev. Lett. **99**, 13, 136802 (2007).
- [13] Л.И. Мандельштам. Лекции по теории колебаний. Наука, М. (1972). 466 с.
- [14] M.R. Philpott. J. Chem. Phys. **62**, 1812 (1975).
- [15] В.М. Агранович, В.Л. Гинзбург. Кристаллооптика с учетом пространственной дисперсии и теория экситонов. Наука, М. (1979). 432 с.
- [16] В.А. Кособукин. ЖТФ **56**, 8, 1481 (1986).

- [17] J. Bellessa, C. Bonnand, J.C. Plenet, J. Mugnier. *Phys. Rev. Lett.* **93**, 3, 036404 (2004).
- [18] Y. Sugawara, T.A. Kelf, J.J. Baumberg, M.E. Abdelsalam, P.N. Bartlett. *Phys. Rev. Lett.* **97**, 26, 266808 (2006).
- [19] S. Balci. *Opt. Lett.* **38**, 21, 4498 (2013).
- [20] B.G. DeLacy, O.D. Miller, C.W. Hsu, Z. Zander, S. Lacey, R. Yagloski, A.W. Fountain, E. Valdes, E. Anquillare, M. Soljacic, S.G. Johnson, J.D. Joannopoulos. *Nano Lett.* **15**, 2588 (2015).
- [21] М.Г. Кучеренко, Т.М. Чмерева. *Оптика и спектроскопия* **125**, 2, 165 (2018).
- [22] V.M. Agranovich, G.C. La Rocca, F. Bassani. *Pure Appl. Opt.* **7**, 119 (1998).
- [23] V.M. Agranovich, Yu.N. Gartstein, M. Litinskaya. *Chem. Rev.* **111**, 5179 (2011).
- [24] P. Vasa, R. Pomraenke, S. Schwieger, Yu.I. Mazur, Vas. Kunets, P. Srinivasan, E. Johnson, J.E. Kihm, D.S. Kim, E. Runge, G. Salamo, C. Lienau. *Phys. Rev. Lett.* **101**, 11, 116801 (2008).
- [25] B.J. Lawrie, K.-W. Kim, D.P. Norton, R.F. Haglund Jr. *Nano Lett.* **12**, 6152 (2012).
- [26] V.I. Sugakov, G.V. Vertsimakha. *Phys. Rev. B* **81**, 23, 235308 (2010).
- [27] В.А. Кособукин. *ФТТ* **57**, 7, 1413 (2015).
- [28] V.A. Kosobukin. *Solid State Commun.* **228**, 43 (2016).
- [29] В.А. Кособукин. *ФТТ* **59**, 5, 972 (2017).
- [30] Н.С. Аверкиев, А.В. Коротченков, В.А. Кособукин. *ФТП* **53**, 8, 1063 (2019).
- [31] W.G. Teich, G. Mahler. *Phys. Status Solidi B* **138**, 2, 607 (1986).
- [32] P.B. Johnson, R.W. Christy. *Phys. Rev. B* **6**, 11, 4370 (1972).
- [33] L.C. Andreani, F. Bassani. *Phys. Rev. B* **41**, 11, 7536 (1990).
- [34] Е.Л. Ивченко. *ФТТ* **33**, 8, 2388 (1991).
- [35] E.L. Ivchenko. *Optical spectroscopy of semiconductor nanostructures*. Alpha Science International Ltd. (2005). 427 p.
- [36] E.L. Ivchenko, V.P. Kochereshko, P.S. Kop'ev, V.A. Kosobukin, I.N. Uraltsev, D.R. Yakovlev. *Solid State Commun.* **70**, 5, 529 (1989).
- [37] E.S. Khramtsov, P.A. Belov, P.S. Grigoryev, I.V. Ignatiev, S.Yu. Verbin, Yu.P. Efimov, S.A. Eliseev, V.A. Lovtcius, V.V. Petrov, S.L. Yakovlev. *J. Appl. Phys.* **119**, 18, 184301 (2016).
- [38] В.А. Кособукин. *ФТТ* **45**, 4, 701 (2003).

Редактор Ю.Э. Китаев